

بررسی اثر استفاده از پرکننده سیلیکا همراه با دوده بر مقاومت در برابر خستگی آمیزه رویه تایرهای سواری

میر حمید رضا قریشی^{*}، سعید تقواوی^۱، رامین ظفر مهرابیان^۲

مجله علوم و تکنولوژی پلیمر،
سال بیست و چهارم، شماره ۴،
صفحه ۳۲۹-۳۳۷ ۱۳۹۰

ISSN: 1016-3255

- ۱- تهران، پژوهشگاه پلیمر و پتروشیمی ایران، صندوق پستی ۱۱۵-۱۴۹۶۵
- ۲- تهران، دانشگاه آزاد اسلامی، واحد تهران شمال، گروه شیمی، صندوق پستی ۱۵۸۷۵-۵۹۸۱
- ۳- گرگان، دانشگاه آزاد اسلامی، واحد گرگان، دانشکده علوم پایه، گروه شیمی، صندوق پستی ۷۱۷

دریافت: ۹۰/۷/۱۳، پذیرش: ۹۰/۷/۱۳

چکیده

در این پژوهش، اثر استفاده از پرکننده سیلیکا به همراه دوده بر مقاومت در برابر خستگی آمیزه لاستیکی رویه تایر سواری رادیال بررسی شد. بدین منظور، ابتدا یک آمیزه شاهد بر مبنای آمیخته دو کائوچوی SBR و BR و ۶۰ قسمت دوده به همراه سایر اجزای آمیزه کاری در نظر گرفته شد. سپس، با توجه به نتایج حاصل از پژوهش های انجام شده در زمینه استفاده از سیلیکا سه آمیزه جدید طراحی شد که در آنها به ترتیب از ۵، ۱۰ و ۲۰ درصد پرکننده سیلیکا به عنوان جایگزین دوده استفاده شد. آمیزه های مزبور تهیه و آزمون های لازم پس از پخت روی آنها انجام شد. این آزمون ها شامل آزمون های کلاسیک فناوری لاستیک (استحکام کششی، درصد ازدیاد طول، سایش و سختی) و هم چنین آزمون های پویا شامل DMTA و مقاومت در برابر خستگی بودند. نتایج به دست آمده حاکی از آن است که بیشترین مقاومت در برابر خستگی با ۲۰ قسمت سیلیکا به دست می آید. از سوی دیگر، بهترین نتیجه با در نظر گرفتن نتایج آزمون DMTA در حالت استفاده از ۵ تا ۱۰ قسمت سیلیکا حاصل می شود که در آن علاوه بر افزایش مقاومت در برابر خستگی عملکرد تایر نیز با کاهش مقاومت غلتشی و افزایش چنگزنه بهبود می یابد.

واژه های کلیدی

رویه تایر،
مقاومت خستگی،
دوده، سیلیکا،
کائوچوی استیرن - بوتا دی ان

* مسئول مکاتبات، پیام نگار:
m.h.r.ghoreishy@ippi.ac.ir

مقدمه

سیلیکا در کائوچوی طبیعی مشاهده کردند، خواص مکانیکی و دینامیکی لاستیک نظیر مقاومت سایشی، استحکام کششی و مقاومت در برابر رشد ترک، افزایش قابل قبولی داشته است. در زمینه استفاده از سیلیکا به عنوان پرکننده در کائوچو، آتشی و همکاران تغییرات خواص استحکام کششی و مقاومت پارگی لاستیک بوتادی ان را با وجود ترکیب دوتایی دوده و سیلیکا بررسی کرده‌اند [۸,۹]. ابطحی و بخششندۀ نیز اثر برخی عوامل بهبوددهنده خواص سطحی سیلیکا را در کائوچوی EPDM مطالعه کرده‌اند [۱۰].

در این پژوهش، اثر استفاده از سیلیکا به شکل جای‌گزین حجمی از دوده بر خواص ایستا و پویای آمیزه رویه تایر سواری که بر پایه آمیخته دو کائوچوی BR و SBR قرار دارد، ارزیابی شده است.

تجربی

مواد

فهرست مواد اولیه آمیزه‌کاری مورد استفاده در این پژوهش به همراه نام تجاری و شرکت سازنده هریک به طور جداگانه در جدول ۱ آورده شده است.

دستگاه‌ها و روش‌ها

چهار آمیزه لاستیکی با استفاده از مواد اولیه اشاره شده در جدول ۱ طراحی و به شکل معمول شامل اختلاط اولیه در بنوری و تکمیل آن روی غلتک، تهیه شدند. فرمول‌بندی هریک از این آمیزه‌ها به همراه کد مربوط در جدول ۲ آمده است. همان طور که مشخص است، در آمیزه SB60 به عنوان آمیزه شاهد تنها پرکننده دوده به عنوان تقویت‌کننده به کار گرفته شده و در سه آمیزه دیگر (یعنی SB62 و SB61 و SB605) به ترتیب از ۵، ۱۰ و ۲۰ قسمت سیلیکا به عنوان جای‌گزین دوده استفاده شده به نحوی که مجموع کل پرکننده تقویتی در همه آمیزه‌ها برابر ۶۰ قسمت بود. شایان ذکر است، این آمیزه‌ها بر مبنای تجربیات قبلی نویسنده‌گان و نیز داده‌های ارایه شده در مقالات طراحی شدند. خواص ریومتری نمونه‌ها با استفاده از ریومتر مدل MDR 900 ساخت شرکت Hiwa مطابق با استاندارد ASTM D5289 در دمای ۱۶۰°C اندازه‌گیری شد.

آزمون اندازه‌گیری گرانروی مونی نیز به کمک گرانروی سنج مونی Hiwa 400 مطابق استاندارد ISO5289 انجام شد. برای آزمون‌های کششی صفحات لاستیکی با ضخامت ۲ mm به وسیله پرس پخت تهیه شد و از آن نمونه‌های دمبلی شکل تهیه شدند.

تایر یکی از مهم‌ترین سازه‌های لاستیکی است که فناوری طراحی و ساخت آن به لحاظ خواص مختلف و در عین حال متناقضی که از آن انتظار می‌رود، همواره در حال تحول است. تایر با قرار گرفتن بین خودرو و جاده از کلیدی ترین عوامل اثرگذار روی فرمان‌گیری، ایمنی، راحتی سرنشین و پایداری حرکتی آن به شمار می‌آید. در این میان رویه تایر، به عنوان عامل واسطه بین تایر و جاده، نقش بسیار مهمی در چگونگی عملکرد تایر ایفا می‌کند. طراحی آمیزه و هم‌چنین انتخاب نقش رویه در این بخش از تایر بر مبنای سه ویژگی عمدۀ انجام می‌شود که عبارتند از:

۱- به حداقل رساندن مقاومت غلتشی و اتلاف انرژی که موجب کاهش مصرف سوخت در خودروهای بر قی می‌شود.

۲- افزایش قدرت چنگزنی یا کشش به ویژه در جاده‌های خیس و یخ‌زده (بر قی) که باعث افزایش ایمنی می‌شود.

۳- سایش پذیری کم که موجب افزایش دوام و طول عمر تایر می‌شود. هزینه‌های نگهداری خودرو را کاهش می‌دهد.

طراحی آمیزه که شامل انتخاب کائوچوهای مناسب به همراه سایر اجزای آمیزه‌کاری است، نقش بسیار اساسی در دست‌یابی به این اهداف دارد. البته در این میان باید به نقش رویه تایر (tread pattern) و نیز طراحی سایر اجزا به ویژه از لحاظ ساختاری نیز اشاره داشت.

در پژوهش حاضر، اثر پرکننده سیلیکایی بر مقاومت در برابر خستگی رویه تایرهای سواری به طور خاص بررسی می‌شود. استفاده از این نوع پرکننده به همراه دوده به عنوان پرکننده‌ای سنتی و تقریباً غیرقابل جای‌گزین بسیار مورد توجه قرار گرفته و پژوهش‌های بسیار فراوانی به آن اختصاص داده است.

در سال‌های اخیر، استفاده از سیلیکای رسوبی نیز به عنوان عامل کاهنده اصطکاک و پدیده گرمایی در آمیزه‌های لاستیکی به ویژه در کائوچوی SBR مسیر رو به رشدی را داشته است [۱-۳].

Wang و همکاران نشان دادند، وجود گروه‌های قطبی و فعالیت ویژه سطحی سیلیکا اثر متفاوتی روی لاستیک‌های قطبی و غیرقطبی دارد [۴]. بر اساس پژوهش‌های Brinke [۵] سیلیکا به عنوان پرکننده تقویتی در رویه تایر، با حفظ مقاومت فرسایشی و لغزشی یکسان موجب کاهش مقاومت غلتشی می‌شود، نسبت به هنگامی که تنها از دوده به عنوان تقویت‌کننده استفاده شود.

در کار دیگری Wang [۶] نشان داد، استفاده از ترکیب دوده و سیلیکا موجب بهبود در مقاومت پارگی و مقاومت سایشی شده است. Rattanasom و همکاران [۷] با استفاده از ترکیب دوتایی دوده -

جدول ۱- مشخصات مواد اولیه مورد استفاده در ساخت آمیزه‌ها.

شرکت سازنده	نام تجاری	نوع افزودنی	مواد
مجتمع پتروشیمی بندر امام	SBR-1500	کائوچو	SBR
مجتمع پتروشیمی اراک	1210S	کائوچو	BR
شرکت کربن ایران	N375	پرکننده و تقویت کننده	دوده ^۱
Anhui Huishang	CS180	پرکننده و تقویت کننده	سیلیکا ^۲
Degussa (آلمان)	Si69	عامل جفت کننده	سیلان
تسدک ایران	-	عامل اتصال عرضی	گوگرد
نفت بهران	290	نرم کننده و روان کننده	روغن آروماتیک
Lanxess	CZ/EG-C	شتاپ دهنده	CBS
Duslo (اسلوواکی)	Dusantox	ضد اکسید و ضد اوزون	6PPD
Flexys	Flectol	ضد اکسید	TMQ
Rheinchemie	Antilux 654	روان کننده و محافظت کننده	موم
G&N SDN. BHD.	RGA	فعال کننده	استئاریک اسید
پارس اکسید	-	فعال کننده	روی اکسید (ZnO)

- مساحت سطح ویژه g/m^2 ۹۵ - ۱۳۴/۲۶۳ و متوسط اندازه ذرات nm ۴۴۰.

جدول ۳ آمده است. نتایج آزمون گرانزوی مونی نشان دهنده افزایش گرانزوی آمیزه با افزایش مقدار استفاده از سیلیکا به عنوان جای گرین دوده است. این افزایش گرانزوی با افزایش درصد سیلیکای جای گزین شده افزایش می‌یابد. علت اصلی این افزایش نیز در اثر پراکنش پذیری ضعیف سیلیکا نسبت به دوده در آمیزه کائوچویی به

جدول ۲- فرمول بندی آمیزه‌های ساخته شده به همراه سامانه کدگذاری (قسمت به ازای صد قسمت کائوچو).

نام آمیزه				اجزای آمیزه‌کاری
SB62	SB61	SB605	SB60	
۷۵	۷۵	۷۵	۷۵	SBR
۲۵	۲۵	۲۵	۲۵	BR
۴۰	۵۰	۵۵	۶۰	دوده (N375)
۲۰	۱۰	۵	.	سیلیکا
۱/۶	۰/۸	۰/۴	.	سیلان
۱/۵	۱/۵	۱/۵	۱/۵	گوگرد
۱۰	۱۰	۱۰	۱۰	روغن آروماتیک
۰/۷۵	۰/۷۵	۰/۷۵	۰/۷۵	CBS
۱/۵	۱/۵	۱/۵	۱/۵	6PPD
۱	۱	۱	۱	TMQ
۲	۲	۲	۲	موم
۲	۲	۲	۲	استئاریک اسید
۴	۴	۴	۴	روی اکسید

آزمون کشش مطابق با استاندارد ASTM D 412 با استفاده از دستگاه آزمون مکانیکی Hiwa انجام شد و مقادیر تنش، کرنش، مدول و استحکام کششی نمونه‌ها به دست آمد. از نمونه‌های دمبلی شکل برای آزمون خستگی استفاده شد. برای انجام آزمون خستگی، دستگاه مدل 600 HIWA ساخت شرکت ایرانی هیوا و تا حد اکثر ۳۵۰۰۰ چرخه طبق استاندارد ISO 6943 به کار گرفته شد. سختی نمونه‌ها با دستگاه سختی سنج مدل 49038 Shore A ساخت شرکت Bareiss روى نمونه‌هایی به شکل قرص و مطابق با استاندارد ASTM D2240 معین شد. مقاومت سایشی نمونه‌ها نیز طبق استاندارد ASTM D5963 روی نمونه‌های قرصی شکل با استفاده از دستگاه Abrasion Meter ساخت شرکت Bareiss اندازه‌گیری شده است.

آزمون DMTA به وسیله دستگاه Tritec 2000 ساخت کشور انگلستان و اندازه‌گیری خواص پویایی نمونه‌ها با آزمون گرمایشی به وسیله دستگاه انعطاف سنج گودریچ مطابق استاندارد ISO 4666 انجام شد. تمام آزمون‌ها با رعایت حداقل سه نمونه انجام و محاسبات آماری نیز نشان دهنده دقت بیش از ۹۵ درصد بودند.

نتایج و بحث

آزمون ریومتری

نتایج آزمون‌های اندازه‌گیری گرانزوی مونی و ریومتری پخت در

جدول ۳- داده‌های آزمون ریومتری نمونه‌ها.

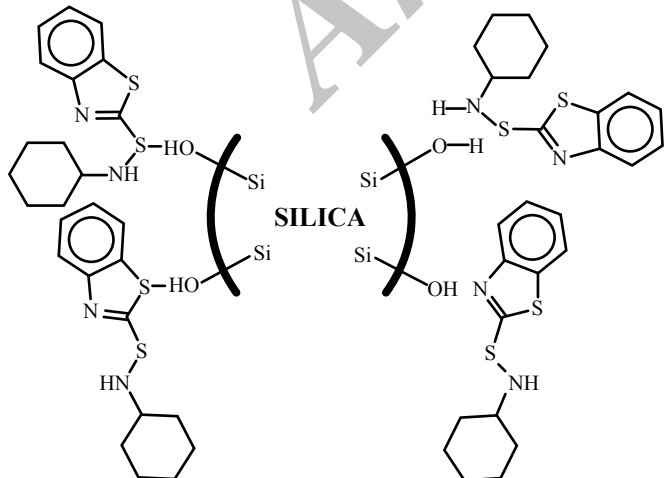
گشتاور بیشینه (dN.m)	گشتاور کمینه (dN.m)	زمان پخت (min)	زمان برشتگی (min)	گرانزوی مونی	کد آمیزه
۱۰/۲۶	۳/۳۱	۱۴/۷۵	۳/۵	۷۵/۱۲	SB60
۸	۲/۸	۱۳/۵	۳/۹	۷۶/۱	SB605
۷/۳۱	۲/۴۴	۱۲/۶۱	۴/۱۶	۷۶/۶۰۹	SB61
۶/۷۶	۲/۷۶	۱۳/۱۸	۵/۰۴	۷۷/۸۲۵	SB62

اتصالات عرضی کمتر و سرعت پخت آرام‌تر می‌تواند به دلیل افزایش سطح فعال سیلیکا که به عنوان جاذب شتاب‌دهنده (CBS) عمل می‌کند، با افزایش مقدار سیلیکا در آمیزه باشد. از آن جا که سطح سیلیکا دارای گروه‌های هیدروکسی مستعد ایجاد پیوند هیدروژنی با مواد قطبی است، جذب CBS که دارای گروه‌های آمینی و گوگرد است، مطابق با شکل ۲ به راحتی اتفاق افتاده و در نتیجه این مواد به جای شرکت در واکنش ایجاد اتصالات عرضی جذب سطح فعال سیلیکا می‌شوند [۱۳].

Rattanasom و همکاران نیز با بررسی تقویت‌کنندگی کائوچوی طبیعی با محلول دوتایی دوده و سیلیکا دریافتند، برای کاهش اثر جذب شتاب‌دهنده به وسیله سطح فعال سیلیکا می‌توان از مقادیر بیشتری از عامل جفت‌کننده استفاده کرد تا با وجود عامل شتاب‌دهنده در محیط واکنش ایجاد اتصالات عرضی، کاهش در چگالی این اتصالات و نیز افزایش زمان برشتگی بهبود یابند [۷].

استحکام کششی

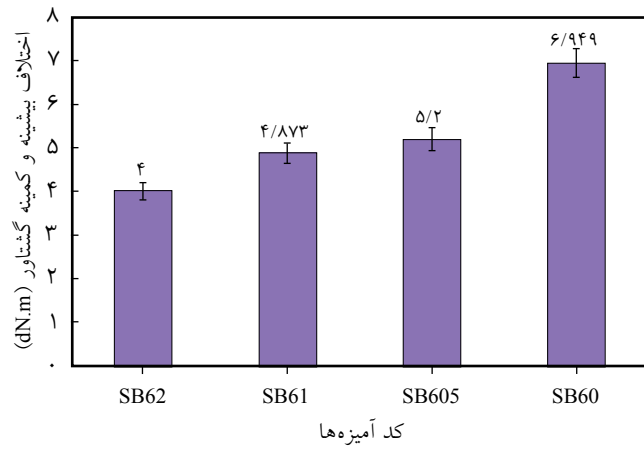
نتایج استحکام کششی و ازدیاد طول تا پارگی در شکل‌های ۳ و ۴



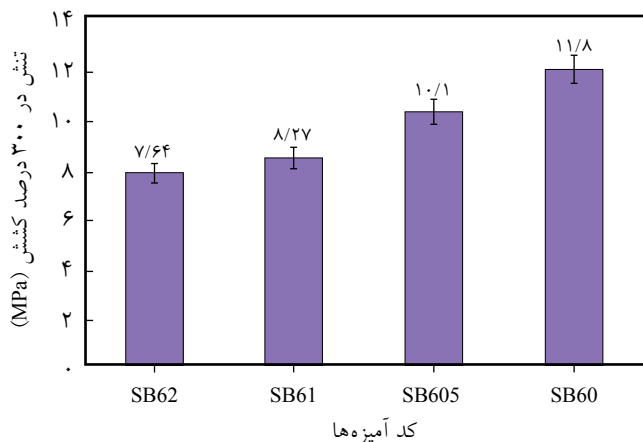
شکل ۲- پیوندهای هیدروژنی محتمل بین سیلیکا و شتاب‌دهنده [۱۳].

دلیل وجود جاذبه‌های قوی ذرات سیلیکا با یکدیگر است. به عبارت بهتر، پراکنش دوده در آمیزه به مراتب ساده‌تر از پراکنش سیلیکا در آمیزه است. هم‌چنین، درباره نتایج مربوط به گشتاور کمینه و بیشینه دیده می‌شود که افزایش گشتاور کمینه در اثر افزایش گرانزوی آمیزه به وجود می‌آید.

اختلاف بین گشتاور بیشینه و کمینه به عنوان معیاری برای چگالی اتصالات عرضی قابل بررسی است [۱۱، ۱۲] که در شکل ۱ نشان داده شده است. همان طور که مشاهده می‌شود، کاهش این پارامتر نشان‌دهنده کاهش چگالی اتصالات عرضی با افزایش جای‌گزینی سیلیکا با دوده است که می‌تواند در خواص استحکامی نهایی نمونه‌ها بسیار اثرگذار باشد. زمان برشتگی (زمان افزایش گشتاور به اندازه ۲ واحد) و زمان پخت (زمان رسیدن به ۹۰ درصد گشتاور نهایی) که با استفاده از داده‌های ریومتری به دست می‌آیند، به ترتیب نشان‌دهنده زمان آغاز واکنش‌های منجر به ایجاد اتصالات عرضی و رسیدن به مراحل تکمیل واکنش اتصالات عرضی است که در جدول ۳ آمده است. این نتایج نشان‌دهنده افزایش زمان برشتگی و افزایش نسبی زمان پخت با افزایش سیلیکای جای‌گزین شده است. چگالی



شکل ۱- اختلاف گشتاور بیشینه و کمینه به عنوان معیار چگالی اتصالات عرضی.

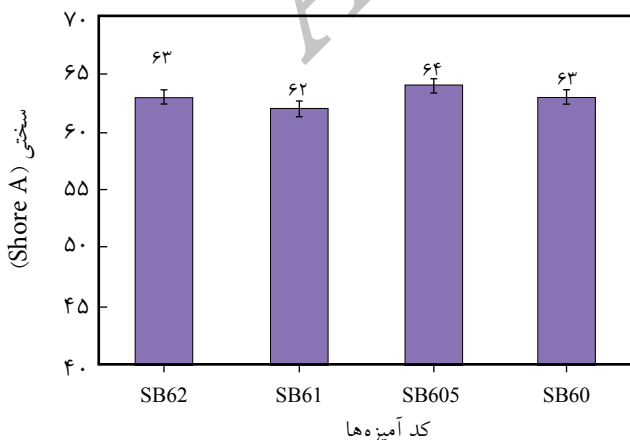


شکل ۵- تنش در ۳۰۰ درصد کشش (مدول ۳۰۰ درصد).

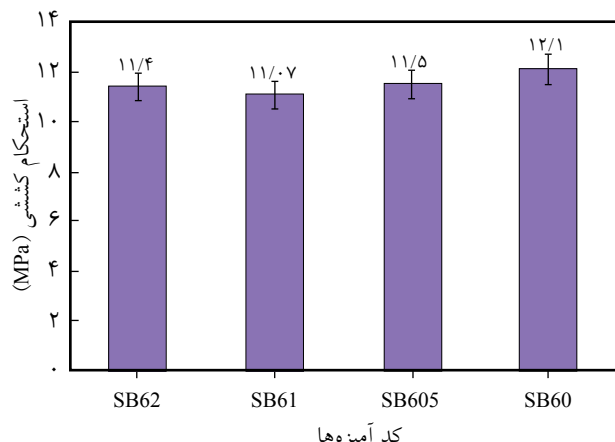
عرضی است که با افزایش مقدار سیلیکای جای‌گزین، تغییرات کاهشی آن به دلیل افزایش سطح فعال سیلیکا نمایان‌تر می‌شود. از سوی دیگر، تغییرات رو به کاهش در مقدار اتصالات عرضی و نیز پراکنش یکنواخت ضعیف‌تر در درصدهای بیشتر سیلیکا باعث افت خواص استحکامی و همچنین مدول لاستیک شده که این امر در شکل ۵ نشان داده شده است.

سختی

با توجه به عدم تغییر در مجموع مقدار پرکننده‌ها در آمیزه انتظار می‌رود، سختی نمونه‌ها پس از پخت تغییر چندانی نداشته باشد. نتایج آزمون سختی، که در شکل ۶ مشاهده می‌شود، بیانگر همین انتظار اولیه است و با افزایش درصد سیلیکا در نمونه‌ها تغییرات اندکی در سختی نمونه‌ها مشاهده می‌شود. مهم‌ترین عامل این نوسانات تغییر در چگالی اتصالات عرضی نمونه‌ها (افزایش سطح فعال جذب کننده عوامل ایجاد اتصالات عرضی) و تفاوت در مقدار پراکنش سیلیکا با دوده در آمیزه است.



شکل ۶- سختی نمونه‌ها.

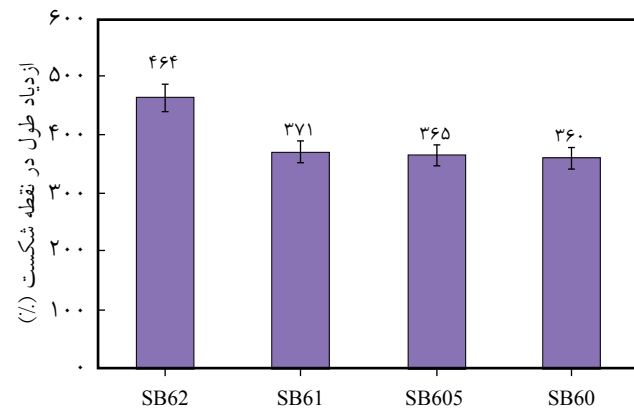


شکل ۳- استحکام کششی نمونه‌ها.

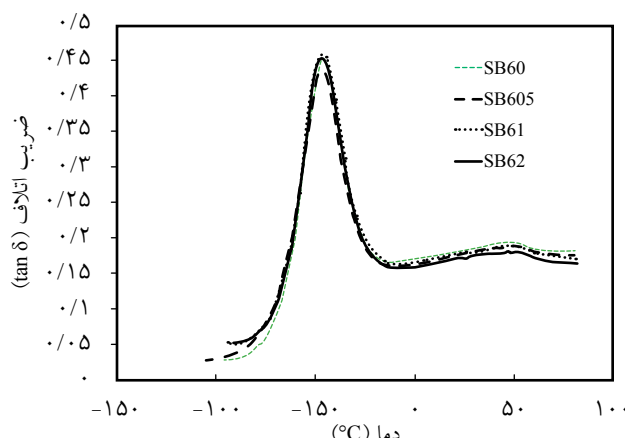
نشان داده شده‌اند. با توجه به ثابت بودن مقدار کلی پرکننده انتظار می‌رود، تغییر محسوسی در خواص کششی نمونه‌ها به وجود نیاید. این امر با نوسان کم استحکام کششی در حدود ۰/۶ MPa همراه است. اما همان‌طور که در شکل ۴ مشاهده می‌شود، افزایش درصد سیلیکای جای‌گزین دوده باعث افزایش ازدیاد طول در نمونه‌ها شده است. این رفتار ناشی از دو دلیل است:

- کاهش چگالی اتصالات عرضی در اثر افزایش سطح فعال سیلیکا با افزایش مقدار سیلیکای جای‌گزین در آمیزه و
- عدم پراکنش یکنواخت سیلیکا به دلیل ایجاد پیوندهای هیدروژنی قوی بین ذرات سیلیکا که منجر به کاهش تقویت کنندگی پرکننده می‌شود [۱۴، ۱۵].

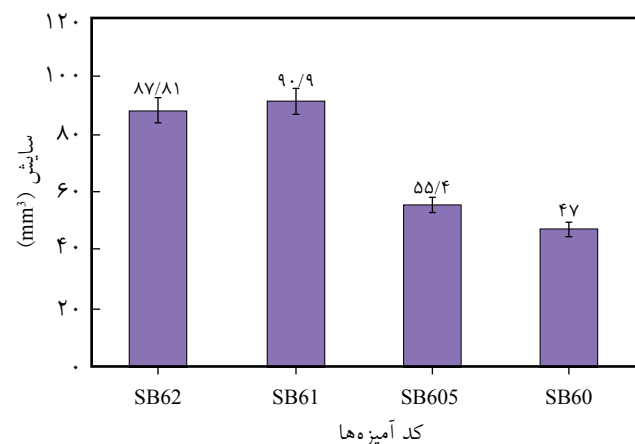
با افزایش سطح فعال، گروههای ممانته‌کننده از ایجاد اتصالات عرضی زیاد شده و در نتیجه کاهش استحکام و افزایش ازدیاد طول را به وجود می‌آورد. نوسان اولیه در استحکام کششی با توجه به ثابت بودن مقدار پرکننده به دلیل تغییرات جزئی در چگالی اتصالات



شکل ۴- درصد ازدیاد طول در نقطه شکست نمونه‌ها.



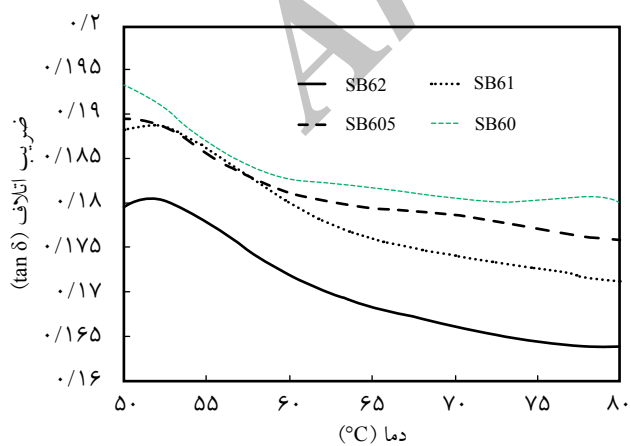
شکل ۹ - نمودار تغییرات ضریب اتلاف بر حسب دما برای نمونه‌ها.



شکل ۷- سایش نمونه‌ها.

خستگی

نتایج آزمون خستگی (شکل ۸)، نشان‌دهنده بهبود چشم‌گیر مقاومت خستگی با افزایش درصد سیلیکا در نمونه‌هاست. این نتیجه بیان گر بهبود خواص مقاومت نمونه‌های لاستیکی در برابر تنش‌های پویای ایجاد شده در نمونه‌ها به هنگام عملکرد در برابر این دسته از نیروهast. کاهش مدول آمیزه که می‌تواند در اثر کاهش چگالی اتصالات عرضی باشد، از جمله عوامل اثرگذار بر اتلاف انرژی پیش از تمرکز آن روی نوک ترک‌های ایجاد شده در اثر بار پویاست. Rattanasom و همکاران [۱۶] نیز نشان داده‌اند، با افزایش مقدار استفاده از سیلیکا در حالت عدم دست‌یابی به پراکنش یکنواخت، وجود سیلیکای تجمع یافته در لاستیک باعث افزایش مدول و در نهایت افزایش تمرکز تنش در نوک ترک‌های در حال رشد می‌شود. مشاهده نتایج حاصل در شکل ۸ تأیید کننده دست‌یابی به یک پراکنش یکنواخت در نمونه‌هاست.

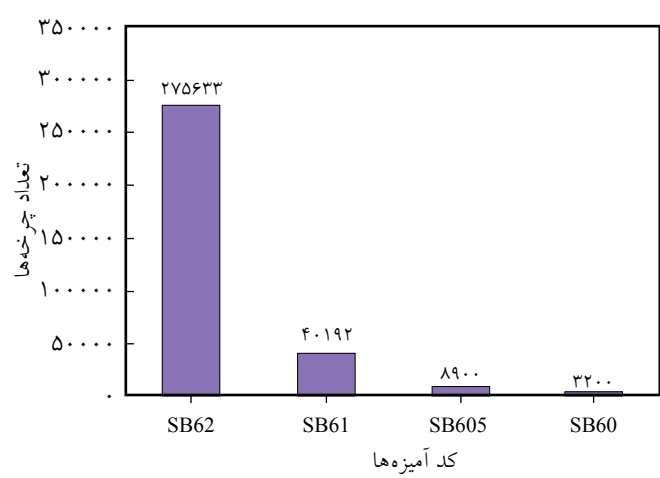


شکل ۱۰- نمودار تغییرات ضریب اتلاف بر حسب دما در محدوده ۵۰ تا ۸۰°C (محدوده دمایی سنجش مقاومت غلتتشی).

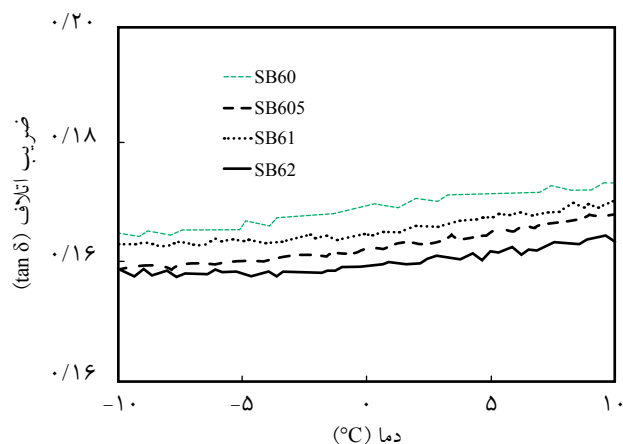
مقاومت سایشی

آمیزه‌های تهیه شده با مخلوط دوفازی دوده و سیلیکا در مجموع دارای ۶۰٪ قسمت پرکننده است که در آن درصدی از سیلیکا جای گزین دوده می‌شود.

شکل ۷ نشان‌دهنده تغییرات خواص سایشی نمونه‌ها با افزایش درصد سیلیکاست. بر اساس پژوهش‌های انجام شده [۷] چگالی اتصالات عرضی، مدول و ضریب اصطکاک از جمله عوامل مهم در بررسی رفتار سایشی قطعات لاستیکی است. مدول و چگالی اتصالات عرضی زیاد و ضریب اصطکاک کم باعث بهبود خواص مقاومت سایشی قطعات لاستیکی می‌شوند. در این پژوهش، ضریب اصطکاک بررسی نشده است، اما کاهش چگالی اتصالات عرضی و مدول نمونه‌ها با افزایش سیلیکای جای گزین شده با دوده، نشان از تأیید نتایج حاصل از آزمون مقاومت سایشی دارد.

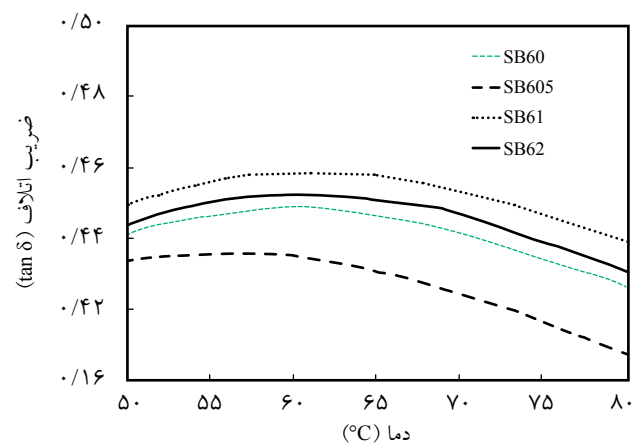


شکل ۸- مقاومت در برابر خستگی نمونه‌ها.



شکل ۱۳- نمودار تغییرات ضریب اتلاف بر حسب دما در محدوده ۱۰-تا ۱۰°C (محدوده دمایی سنجش قدرت چنگزنی و کشش تایر).

حاصل از آزمون گرمایی نیز در شکل ۱۲ نشان داده شده که بیان گر کاهش گرمایی نمونه ها نسبت به نمونه پرشده با دوده است. شکل ۱۳ نشان دهنده تغییرات ضریب اتلاف در ناحیه دمایی ۱۰-تا ۱۰°C است که به عنوان معیاری برای سنجش خاصیت چنگزنی (grip) و کشش در سطوح خیس و یخ زده استفاده می شود. در این ناحیه هر چه مقدار ضریب اتلاف بیشتر باشد، تایر دارای قدرت چنگزنی بیشتر یا به عبارت دیگر اینمی بیشتر خواهد بود. نتایج نشان دهنده آن هستند که این خاصیت در حالت بدون استفاده از سیلیکا کاهش می یابد و افزایش ۱۰ درصد سیلیکای جای گزین بهترین حالت را نسبت به سایر مقادیر نشان می دهد.



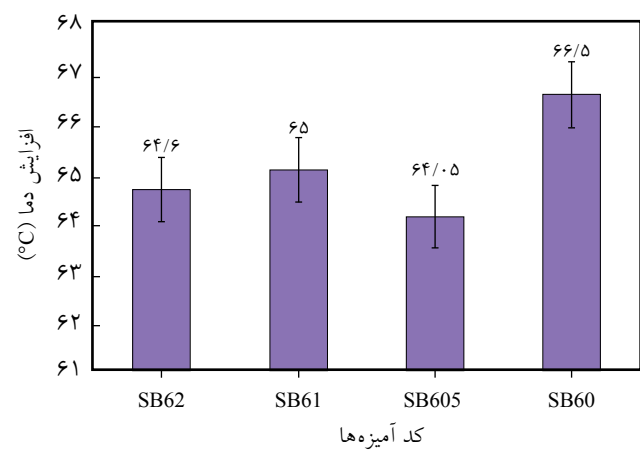
شکل ۱۱- نمودار تغییرات ضریب اتلاف بر حسب دما و Tg بر حسب مقادیر سیلیکای جای گزین شده.

آزمون پویایی DMTA

نتایج آزمون پویایی DMTA روی نمونه های یادشده در شکل ۹ نشان داده شده اند. در این نمودارها تغییرات ضریب اتلاف یا $\tan\delta$ در محدوده دمایی ۱۰۰-۸۰°C و بسامد ۱ Hz آورده شده اند. برای بررسی دقیق تر این نمودارها آنها را به چند ناحیه تقسیم می کنند. ابتدا محدوده دمایی ۵۰ تا ۸۰°C در نظر گرفته شده که معیاری از مقاومت غلتشی است [۱۷] و در شکل ۱۰ نشان داده شده است. همان طور که انتظار می رود [۶]، با افزایش سیلیکا مقدار ضریب اتلاف کاهش می یابد که بیان گر کاهش مقاومت غلتشی در نمونه ها با افزایش سیلیکای جای گزین است. از سوی دیگر، کاهش T_g در آمیزه باعث کاهش مقاومت غلتشی شده که این موضوع در شکل ۱۱ نشان داده شده است. مشاهده می شود، بیشترین کاهش با استفاده از ۵ درصد سیلیکای جای گزین در نمونه به دست آمده است. هم چنین، نتایج

نتیجه گیری

در این پژوهش، اثر جای گزینی بخشی از پرکننده سیاه یا دوده در آمیزه رویه تایر سواری با سیلیکا روی رفتار مکانیکی ایستا و پویای آن مطالعه شده است. نتایج به دست آمده حاکی از آن است که پرکننده سیلیکا نه تنها نقش سنتی خود یعنی کاهش مقاومت غلتشی و افزایش قدرت چنگزنی را در جاده های خیس و یخ زده ایفا می کند، بلکه قابلیت افزایش چشمگیر مقاومت در برابر خستگی را نیز دارد. هم چنین مشخص شد، اگرچه افزایش بیشتر درصد سیلیکا منجر به بهبود بیشتر مقاومت در برابر خستگی می شود، ولی بیشترین بازدهی در کاهش مقاومت غلتشی و افزایش قدرت چنگزنی در محدوده ۵ تا ۱۰ قسمت جای گزینی به دست می آید.



شکل ۱۲- گرمایی (افزایش دما) در نمونه ها مطابق آزمون انعطاف سنجی گودریچ.

مراجع

1. Shuyan Y., Lan L., Zhixin J., Demin J., and Yuanfang L., Structure and Mechanical Properties of Rare-Earth Complex La-GDTC Modified Silica/SBR, *Compos. Polym.*, **52**, 2701-2710, 2011.
2. Shuyan Y., Lan L., Zhixin J., Demin J., and Yuanfang L., Study on the Curing Properties of SBR/La-GDTC/SiO₂, *Compos. J. Rare Earths*, **29**, 444-453, 2011.
3. Suphadon N. and Busfield J.J.C., The Dynamic Properties of Fumed Silica Filled SBR as Function of Pre-strain, *Polym. Test.*, **30**, 779-783, 2011.
4. Wang M.J., Wolf S., and Donnet J.B., Filler Elastomer Interactions. Part 1: Silica Surfaces Energies and Interactions with Model Compounds, *Rubber Chem. Technol.*, **64**, 559-576, 1991.
5. Brinke J.W.T., Debnath S.C., Reuvekamp L.A.E.M., and Noordermeer J.W.M., Mechanistic Aspects of the Role of Coupling Agents in Silica–Rubber Composites, *Compos. Sci. Technol.*, **63**, 1165-1174, 2003.
6. Wang M.J., Kutovsky Y., Zhang P., Murphy L.J., Laube S., and Mahmud K., New Generation Carbon-Silica Dual Phase Filler Part I. Characterization and Application to Passenger Tire, *Rubber Chem. Technol.*, **75**, 247-263, 2002.
7. Rattanasom N., Saowapark T., and Deeprasertkul C., Reinforcement of Natural Rubber with Silica/Carbon Black Hybrid Filler, *Polym. Test.*, **26**, 369–377, 2007.
8. Atashi H., Sobhanmanesh K., and Shiva M., Improvement of Physical and Mechanical Properties of Butadiene Rubber with Silica/Silane Reinforcement System, *Iran. J. Polym. Sci. Technol. (In Persian)*, **17**, 281-290, 2004.
9. Atashi H., Sobhanmanesh K., and Shiva M., Assessments on the Tear Resistance Improvement Mechanisms in the Carbon Black/Silica/Silane Reinforcement Systems, *Iran. J. Polym. Sci. Technol. (In Persian)*, **18**, 75-80, 2005.
10. Abtahi M. and Bakhshandeh G.R., Effect of Different Coupling Agent on Mechanical Properties of Silica Filled Reinforced EPDM Rubber Compounds, *Iran. J. Polym. Sci. Technol. (In Persian)*, **16**, 349-355, 2004
11. Chen C.H., Koenig J.L., Shelton J.R., and Collins E.A., Influence of Carbon Black on the Reversion Process in Sulfur Accelerated Vulcanization of Natural Rubber, *Rubber Chem. Technol.*, **55**, 103- 115, 1981.
12. Skinner T.D. and Watson A.A., EV Systems for NR. I. The Purpose of Efficient Vulcanization and Development of Curing System, *Rubber Chem. Technol.*, **42**, 404- 417, 1969.
13. Chois., Park B., and Song H., Influence of Filler Type and Content on Properties of Styrene-Butadiene Rubber (SBR) Compound Reinforced with Carbon Black or Silica, *Polym. Adv. Technol.*, **15**, 122–127, 2004.
14. Choi S.S., Influence of Storage Time and Temperature and Silane Coupling Agent on Bound Rubber Formation in Filled Styrene–Butadiene Rubber Compounds, *Polym. Test.*, **21**, 201-208, 2002.
15. Morrison N.J. and Porter M., Temperature Effects on the Stability of Intermediates and Crosslinks in Sulfur Vulcanization, *Rubber Chem. Technol.*, **57**, 63-85, 1984.
16. Rattanasom N. and Chaikumpollert O., Crack Growth and Abrasion Resistance of Carbon Black-Filled Purified Natural Rubber Vulcanizates, *J. Appl. Polym. Sci.*, **90**, 1793-1796, 2003.
17. Wang M.J., Effect of Polymer-Filler and Filler-Filler Interactions on Dynamic Properties of Filled Vulcanizates, *Rubber Chem. Technol.*, **71**, 520-589 , 1998.